

# ЧИСЛЕННОЕ МОДЕЛИРОВАНИЕ КЛИМАТИЧЕСКОЙ ЦИРКУЛЯЦИИ ЧЕРНОГО МОРЯ ПРИ РАЗЛИЧНЫХ ПАРАМЕТРИЗАЦИЯХ КОЭФФИЦИЕНТОВ ТУРБУЛЕНТНОЙ ДИФФУЗИИ

*А.В. Багаев, С.Г. Демышев*

Морской гидрофизический институт  
НАН Украины  
г. Севастополь ул. Капитанская, 2  
*E-mail: otw@alpha.mhi.iuf.net*

На основе трехмерной гидродинамической модели исследуется влияние двух типов параметризации турбулентной диффузии в рамках подхода Филандера – Покановского на результаты численного эксперимента по построению климатических полей Черного моря. В первом эксперименте коэффициент турбулентной диффузии соли отличался от аналогичного коэффициента для температуры, во втором они совпадали. Проведено сопоставление результатов двух расчетов.

**Введение.** Для адекватного воспроизведения термодинамики Черного моря необходимо правильно аппроксимировать процессы перемешивания в верхнем слое моря. Известны различные подходы для решения этой проблемы [1, 2]. В работах [3, 4] было показано, что приближение Филандера–Покановского может успешно применяться для моделирования климатических полей Черного моря.

Настоящая работа является продолжением этих исследований. Проведено два расчета климатической циркуляции Черного моря с различными значениями коэффициентов турбулентной диффузии тепла и соли.

**Результаты расчетов.** Подробно уравнения модели, параметры задачи и метод решения приведены в [5]. Здесь укажем те особенности, при которых были проведены два эксперимента.

Для описания верхнего перемешанного слоя использовалось приближение Филандера–Покановского [1, 4]. В этом случае коэффициенты турбулентной вязкости и диффузии по вертикали имеют вид

$$\nu = \nu_0(1 + Ri)^{-2} + \nu_1^V,$$

$$\kappa^S = [(\nu_0(1 + Ri)^{-2} + \nu_1)](1 + Ri)^{-1} + \kappa_1^S,$$

$$\kappa^T = [(\nu_0(1 + Ri)^{-2} + \nu_1)](1 + Ri)^{-1} + \kappa_1^T,$$

где

$$Ri = (g / \rho_0) \partial \rho / \partial z [(\partial u / \partial z)^2 + (\partial v / \partial z)^2]$$

– число Ричардсона и в классическом варианте  $\kappa_1^S, \kappa_1^T$  – постоянные.

В работах по моделированию климатической циркуляции Черного моря [3, 4] было показано, что при разрешении 14,8 км по горизонтали лучшее соответствие между модельным климатом и данными наблюдений [6] достигается при различных коэффициентах вертикальной турбулентной диффузии тепла и соли. В работе [5] построены климатические поля с разрешением по горизонтали ( $5 \times 5$  км) и на основе серии расчетов получены значения  $\nu_0, \nu_1, \nu_1^V, \kappa_1^S, \kappa_1^T$ .

Отличия двух вариантов расчетов, результаты которых представлены в настоящей работе, следующие. В первом эксперименте  $\kappa_1^S$  зависел от  $z$  [5], во втором от  $z$  и  $t$ . Таким образом, во втором варианте  $\kappa^T = \kappa^S$ .

Сопоставление результатов двух расчетов показало, что отличия в среднем значении уровня и кинетической энергии составляют примерно 0,1 %.

Наибольшая невязка между значениями уровня в двух экспериментах наблюдалась (до 1,5 см) на свale глубин в районе северо-западного шельфа в весенний период, как показано на рисунке 1. По всей видимости, причина таких отличий связана с увеличивающимся поступлением воды в это время года и интенсивным формированием Севастопольского антициклона. Область свала глубин является наиболее чувствительной к процессу перемешивания вод и, следовательно, к используемой параметризации коэффициентов турбулентной диффузии по вертикали.

Рассмотрим полученные невязки в поле солености. Наибольшие расхождения располагаются в слое 40–80 м. (см. рис. 1) и составляли порядка 0,5 %. Они были зафиксированы лишь в небольшой области близ западного берега моря на глубинах 0–40 м. В слое 40–80 м. в весенний период характерными значениями невязки были 0,25 %. Большую же часть времени расхождения не превышали 0,1 %.

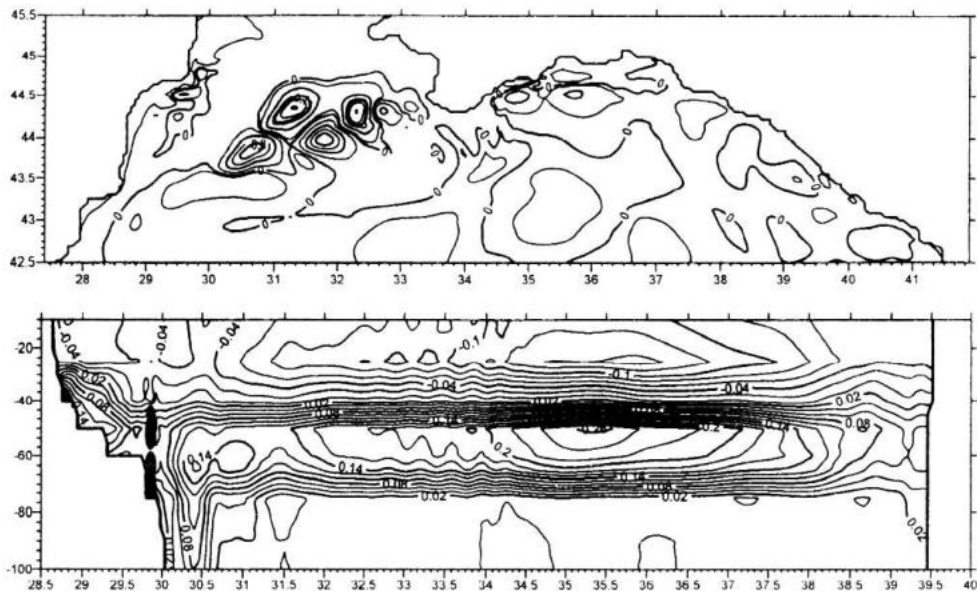


Рисунок 1 – Невязка в поле уровня и сечении поля солености (сечение проведено через середину бассейна, т.е. около  $44^{\circ}$  С.Ш., в широтном направлении) на 25 марта для экспериментов с различной параметризацией коэффициента вертикальной турбулентной диффузии соли

Сопоставление ассимилируемого и рассчитанного поля солености показало следующее. С конца марта на глубинах 0–40 м. вдоль западного берега наблюдается область максимальной невязки (доходящая для эксперимента [5] до 1,1 %, для нашего эксперимента – до 0,9 %, что видно на рисунке 2), вызванная горизонтальным распространением пресного речного стока. Однако, в отличие от эксперимента [5], в нашем расчете она занимает меньший объ-

ем и существует меньшее время (уже к 25 июня не превышает 0,5 %, а в эксперименте [5] лишь к августу невязка снижается до этого уровня, как показано на рисунке 3). В остальной области отклонения имеют характерные значения 0,2 %. Особенностью также является разница в знаке невязки между полем климатической и ассимилируемой солености для двух разных способов параметризации коэффициента вертикальной диффузии соли.

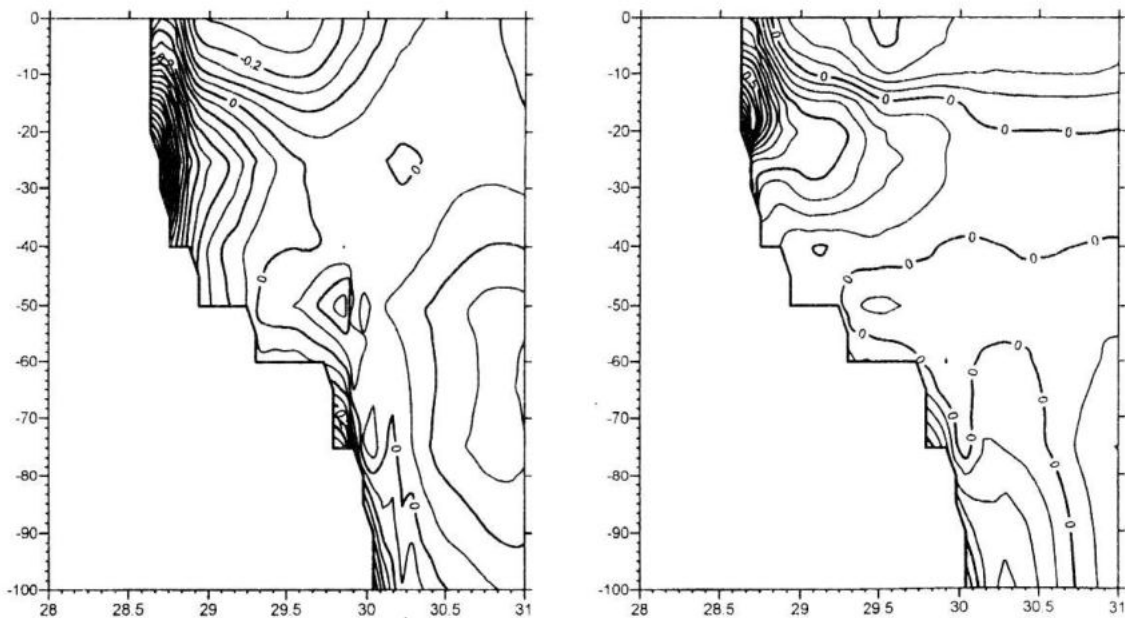


Рисунок 2 – Невязка в сечении поля солености на 25 марта между данными наблюдений за климатом и результатами численных экспериментов. Для эксперимента [5] – слева, для данной работы – справа

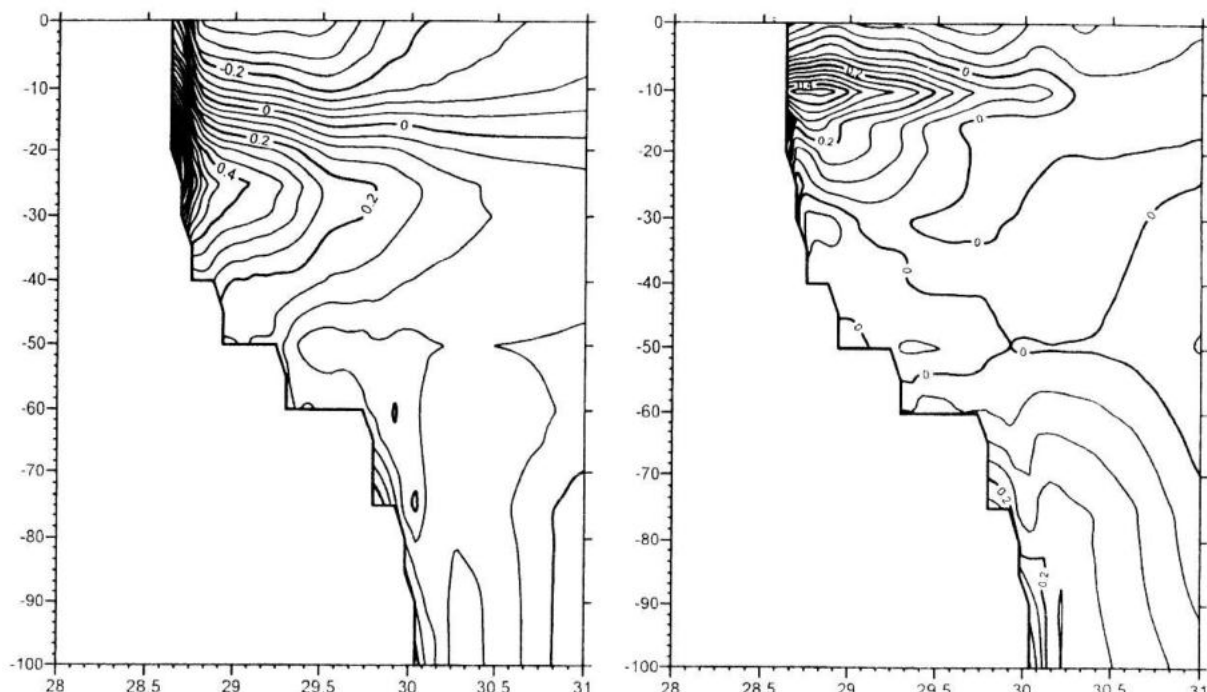


Рисунок 3 – Невязка в сечении поля солености на 25 июня между данными наблюдений за климатом и результатами численных экспериментов. Для эксперимента [5] – слева, для данной работы – справа

**Заключение.** Существенное расхождение между результатами в эксперименте [5] и проведенном расчете было отмечено в поле уровня. Весной, с середины марта до середины апреля, на свале глубин по краю северо-западного шельфа отмечается невязка до 1,5 см. Отличие обусловлено расхождениями в модельных полях солености на глубине 20–60 м. Наибольшие значения невязки для поля солености приходятся на весенний период, когда поступление речной воды в бассейн Черного моря максимально.

Сопоставление модельного климата с архивной информацией в весенне-летний период показывает, что в выполненном эксперименте по сравнению с предыдущим [5] получено лучшее соответствие для поля солености в западной части моря на береговом склоне.

## Л и т е р а т у р а

1. Pacanowski R.C., Philander S.G.H. Parameterization of vertical mixing in numerical models of tropical oceans. *J. Physical Oceanography*. – 1981. – 11. – P. 1443–1451.
2. Mellor G.L., Yamada T. Development of a turbulence close model for geophysical fluid problems // *Rev. Geophys. Space Phys.* – 1982. – 20. – P. 851 – 875.
3. Демышев С.Г., Кныш В.В., Коротаев Г.К. Моделирование сезонной изменчивости температурного режима верхнего деятельного слоя Черного моря. – *Известия РАН ФАО*. – 2004. – т. 40, № 2. – С. 259–270.
4. Демышев С.Г., Кныш В.В., Саркисян А.Н. Некоторые особенности климатической циркуляции и формирования холодного промежуточного слоя Черного моря. *Известия РАН ФАО*. – 2004, т. 40, № 5. – С. 636–650.
5. Демышев С.Г., Иванов В.А., Маркова Н.В., Черкесов Л.В. Построение поля течений в Черном море на основе вихреразрешающей модели с ассимиляцией климатических полей температуры и солености // Экологическая безопасность прибрежной и шельфовой зон и комплексное использование ресурсов шельфа. – Севастополь: ЭКОСИ-Гидрофизика. – 2007. – вып. 15. – С. 215–226.
6. Белокопытов В.Н. Термохалинная и гидролого-акустическая структура вод Черного моря. Дис. канд. геогр. наук Севастополь, МГИ НАН Украины 2004. 160 с.